

京都大学防災研究所 正員 芳田和男

〃 高橋保

〃 江頭進治

1. 緒言 著者は先に、泥水による定常的な下層密度流の流れ特性について考察したが、本報においては \downarrow \downarrow entrainment と zone of negligible entrainment (Z.N.E.) の形成、および層厚比 (d/d_1) に対する粗度の影響について考察を加える。なお実験用水路は図-1 に示すものであるが、実験方法については文献¹⁾を参考にして下さい。

2. Z.N.E. の形成についての若干の考察 主浦域 ($0 \leq z \leq d$) (図-2.4.5 参照) の流れは乱流状態であるにもかかわらず Z.N.E. (等流域) と見なせる領域が形成されることを実験観察より見だし、さうし式(1)によると定性的な説明を加え¹⁾。これを模式的に示したのが図-2 である。

$$\frac{\partial R_{in}}{\partial x} = -3g \frac{\Delta P(x)}{P_m} h(x) / \frac{P_m}{\bar{u}^2} u(x)^2 \cdot \frac{\partial u(x)}{\partial x} \quad \dots \dots (1)$$

$\Delta P(x)$, $u(x)$ および P_m はそれそれぞれ泥水層と清水との密度差、泥水層の平均流速および清水密度であり、 $h(x)$ は泥水層の高さである。

流速分布と濃度(密度)分布は Z.N.E. と見なせるところ²⁾を測定したが、これらの値を用いて計算した plunging point と測定地点間の平均達行係数 ($E = U_e/U_1$) の値を図-3 に示す。図中の U_e は境界面すなはち流速分布および濃度分布の変曲点の位置 ($Z=d$ 、図4.5 参照) を通じての鉛直上向き流速である。式(1)から考察されたように、entrainment は上浦側で激しく、下浦へ向かう減少していくことが考えられるため、測定地点の $R_{in} = (\bar{P}-P_1) \frac{d}{\bar{P} \bar{u}^2}$ ($\bar{P} = \frac{1}{d} \int_0^d P dz$, $\bar{u} = \frac{1}{d} \int_0^d u dz$) を用

いて E と R_{in} の関係を論ずるのは適当でないが、他者の実験値よりも E はかなり小ささい。このことについて明確な議論はできないが、実験の相違点を挙げれば表-1 のようである。以上要するに、対象となる以下の領域での entrainment の平均値が小さくなることや式(1)が S で考察されたことは、かなり短い距離の浦下後、その下浦側において Z.N.E. と見なせる領域が形成されることがあることである。

	流れの形式	水路寸法	補体	粒子沈降速度	備考
Ellison and Turner	surface jet	X	塩水・清水	X	Lofquist と著者の結果は同じ。
Lofquist	下層浦・jet	O	塩水・清水	X	
著者	下層密度流	0.01 ~ 0.02	泥水・清水	微小 ($W_{50} = 0.02 \text{ cm/s}$)	

表-1 実験条件の相違点

3. Z.N.E. の流れの特性について 流速分布および密度(濃度)分布に関する理論を前報で報告したが、若干の説明を加えまとめておこう。

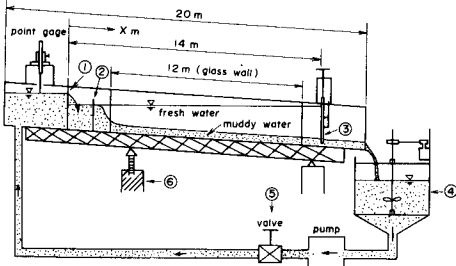


図-1 実験装置：①田角せき、②冷却槽、
③スルースゲート、④混合水槽、
⑤バッキ

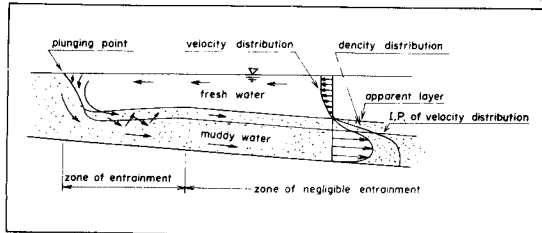


図-2 流下方向流れの模式図：I.P. of velocity distribution は境界面の位置

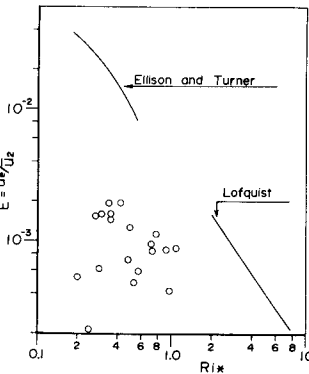


図-3 達行係数と overall Richardson 数の関係

$Z = d_1$ のままでせん断りが極値をもつことが想定されることや、平均右浦量 \bar{g} (m^3/s) と、 $0 \leq Z \leq d$ での浦量 $U(d_1 + U_1 d_2)$ との間に式(2)の関係が成立することから $Z = d$ を境界面と決定した。さうして $0 \leq Z \leq d_1$ (図-4参照)の

$$g = U(d_1 + U_1 d_2) \quad \dots \dots (2) \quad (\because d_1, U_1 = \frac{1}{K_1} \int_0^{d_1} u dz, U_2 = \frac{1}{K_2} \int_0^d u dz)$$

領域における、粒子流速速度の影響が無視できる場合は密度分布は一定であり、また浦量分布については対数則が成立することを実験的に見いた。つぎに、 $d_1 \leq Z \leq d$ ($0 \leq Z \leq d_1$) における、境界面にあります大きな抵抗を説明するため、混合距離 l を仮定して浦量分布形を導き、さらにはこれらの結果と gradient form Richardson 数 (R_i) を用いて密度分布形を説明した。これらの理論計算による浦量分布および密度(濃度)分布の計算結果と実測値との比較を図-5 で示す。つぎに、層厚比 (d_2/d_1) に対する底面粗度の影響を議論するに必要な式を記す。

$$\frac{Z}{d_1} = \frac{U_{d_1}}{U_{d_2}} + \frac{1}{K_2} \left\{ \frac{2.3}{K_2} \frac{l}{d_2} \log_{10} \frac{L/d_1 + K_2}{L/d_2} - 1 \right\}, \quad (0 \leq Z \leq d_2) \quad \dots \dots (3)$$

$$\frac{U(Z)}{U_{d_2}} = A_r + \frac{2.3}{K_2} \log_{10} \frac{Z}{l} \quad , \quad (0 \leq Z \leq d_1) \quad \dots \dots (4)$$

$$U_{d_2} = \sqrt{(P_0 - P_2) g d_2 l / P_0} \quad \dots \dots (5), \quad U_{d_1} = \sqrt{(P_0 - P_1) g d_1 l / P_1} \quad \dots \dots (6)$$

である。ここで、 P_0 は流入泥水密度、 $P_1 = \frac{1}{d_1} \int_0^{d_1} P dz$ 、 l は粗度高である。これらの式から、 $B = \frac{1}{K_2} \left\{ \frac{2.3}{K_2} \cdot \frac{l}{d_2} \cdot \log_{10} \frac{L/d_1 + K_2}{L/d_2} - 1 \right\}$ と置くと、

$$\frac{d_2}{d_1} = \frac{P_0 - P_2}{(P_0 - P_1)^2} \cdot \left\{ A_r + \frac{2.3}{K_2} \log_{10} \frac{d_1}{l} \right\}^2 \quad \dots \dots (7)$$

の関係式が導かれる。式(7)の右辺第一因数および因数内の各諸量と、 d_2/d_1 、 d_1/l との間に測定誤差を加味すると系統的な相関は見られない⁵⁾。この因数を A と定め、定数 A をすれば、図-6 に示すよう d_2/d_1 と d_1/l の相関は明確である。計算および考察に使用した各諸量は、 $A_r = 0.5$ 、 $K_1 = K_2 = 0.4$ 、 $l/d_1 = 0.073$ である。

4. 結言 前報¹⁾において E.N.E. (等深域) の形成過程について定性的に論じたが、entrainment に着目し、それをさらに進めた。しかししながら、このような考え方に基づく解析を長時間にわたる非常に長い領域にまで適用できるかという問題に対して明確に述べることはできない。つぎに、層厚比に対する底面粗度の影響が無視でき、これが一義的に決定できることという考え方もあるが、これに対する明確な反論を行なった。本報告におけることは述べておらず、水理条件として f 、 P_0 、水路こう配とおそれ粗度をどうしたものかとも、どのような規模の流れが発生するかという問題は重要なことである⁵⁾。この議論がある程度できることは、不完全な形のまま前報に記しておるが、これは肉1では今後の問題点とともに講演時に述べる。

なお本報をオーラーと呼ぶことにし、文献リセオーラーとする。最後に、実験データ整理などおせわになつた吉田調査技官に感謝の意を表します。

- 参考文献 1) 芳田・高橋江頭；泥水密度流に関する基礎的研究、関西支部年次学術講演会、昭和44年6月
 2) Ellison and Turner; Turbulent entrainment in stratified flows, J. Fluid Mech., Vol. 6, 1959 3) K. Lofquist ; Flow and Stress Near an Interface between Stratified Liquids, The Physics of Fluids, Vol. 3, Numb. 2, 1960 4) 三工道治；泥水密度流に関する基礎的研究、京都大学修士論文、昭和44年3月 5) Task Committee ; Sediment Transportation Mechanics : Density Currents, Jour. of Hy. Division, Proc. of the ASCE, Sep. 1962

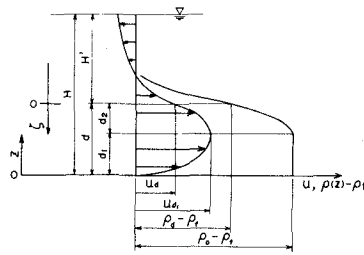


図-4 記号説明図: U_{d_1} は最大浦速

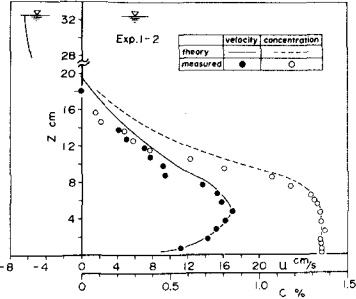


図-5 理論曲線と実験値との比較

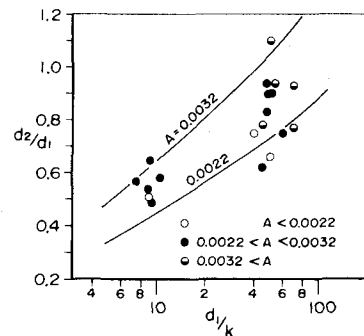


図-6 層厚比と底面粗度の関係